

1 Zug und Druck in Stäben

1.1 Spannung

Normalspannung[N]

σ

Spannung $\left[\frac{N}{mm^2}\right]$

=

$\frac{N}{A}$

Fläche $[mm^2]$

(1.1)

Kraft[N]

σ

Spannung $\left[\frac{N}{mm^2}\right]$

=

$\frac{F}{A}$

Fläche $[mm^2]$

(1.2)

Normalspannung
in einem Schnitt
Senkrecht zur Stabachse

$$\sigma = \frac{\sigma_0 = F/A}{2} (1 + \cos 2\varphi), \tau = \frac{\sigma_0}{2} (\sin 2\varphi)$$

(1.3)

$$\sigma(x) = \frac{N(x)}{A(x)}$$

(1.4)

$$A_{\text{erf}} = \frac{|N|}{\sigma_{\text{zul}}}$$

(1.5)

1.2 Dehnung

Verlängerung[m]

ε

Dehnung[1]

=

$\frac{\Delta \ell}{\ell_0}$

Ursprüngliche
Länge [m]

(1.6)

Örtliche (lokale Dehnung)

$$\varepsilon(x) = \frac{du}{dx}, \quad |\varepsilon| \ll 1$$

(1.7)

1.3 Stoffgesetz

Hooke'sches Gesetz

Spannung $\left[\frac{N}{mm^2}\right]$

E

Elastizitätsmodul
 $\left[\frac{N}{mm^2}\right]$

=

$\frac{\sigma}{\varepsilon}$

Dehnung[1]

(1.8)

Umgestellt nach Sigma, übliche Form:

$$\sigma = E \varepsilon = \frac{\Delta \ell}{\ell_0} E$$

(andere Form)

$$\varepsilon = \frac{\sigma}{E}$$

Dehnung[1]

(1.9)

ε_T

=

α

·

ΔT

Wärmedehnung[1]

Thermischer Ausdehnungskoeffizient
(Wärmeausdehnungskoeffizient) [1/°C]

Temperaturänderung
[°C]

(1.10)

$$\varepsilon = \frac{\sigma}{E} + \alpha_T \Delta T$$

(1.11)

$$\sigma = E (\varepsilon - \alpha_T \Delta T)$$

(1.12)

1.4 Einzelstab

$$\frac{dN}{dx} + \underbrace{n}_{\text{Linienkraft}} = 0$$

(1.13)

$$\frac{du}{dx} = \frac{N}{EA} + \alpha_T \Delta T$$

(1.14)

$$\Delta \ell = u(l) - u(0) = \int_0^\ell \varepsilon dx$$

(1.15)

$$\Delta \ell = \int_0^\ell \left(\frac{N}{EA} + \alpha_T \Delta T \right) dx$$

(1.16)

$$\Delta \ell = \frac{F \ell}{EA} + \alpha_T \Delta T \ell$$

(1.17)

Für $\Delta T = 0$

$$\Delta \ell = \frac{F \ell}{EA}$$

(1.18)

Oder $F = 0$

$$\Delta \ell = \alpha_T \Delta T \ell$$

(1.19)

$$(EAu')' = -n + (EA\alpha_t \Delta T)'$$

(1.20a)

Sei in 1.20a $EA = const$ und $\Delta T = const$

$$EAu'' = -n$$

(1.20b)

1.5 Statisch bestimmte Stabsysteme

$$u = |\Delta \ell_1| = \frac{F \ell}{EA} \frac{1}{\tan \alpha},$$
$$v = \frac{\Delta \ell_2}{\sin \alpha} + \frac{u}{\tan \alpha} = \frac{F \ell}{EA} \frac{1 + \cos^3 \alpha}{\sin^2 \alpha \cos \alpha}$$

(1.21)

1.6 Statisch unbestimmte Stabsysteme

2 Spannungszustand

2.1 Spannungvektor und Spannungstensor

$$\boldsymbol{t} = \lim_{\Delta A \rightarrow 0} \frac{\Delta \boldsymbol{F}}{\Delta A} = \frac{d\boldsymbol{F}}{dA}$$

(2.1)

$$\boldsymbol{t} = \tau_{yx} \boldsymbol{e}_x + \sigma_y \boldsymbol{e}_y + \tau_{yz} \boldsymbol{e}_z$$

(2.2)

$$\tau_{xy} = \tau_{yx}, \tau_{xz} = \tau_{zx}, \tau_{yz} = \tau_{zy}$$

(2.3)

$$\boldsymbol{\sigma} = \begin{bmatrix} \sigma_x & \tau_{xy} & \tau_{xz} \\ \tau_{yx} & \sigma_y & \tau_{yz} \\ \tau_{zx} & \tau_{zy} & \sigma_z \end{bmatrix} = \begin{bmatrix} \sigma_x & \tau_{xy} & \tau_{xz} \\ \tau_{xy} & \sigma_y & \tau_{yz} \\ \tau_{xz} & \tau_{yz} & \sigma_z \end{bmatrix}$$

(2.4)

2.2 Ebener Spannungszustand

2.2.1 Koordinatentransformation

$$\sigma_\xi = \sigma_x \cos^2 \varphi + \sigma_y \sin^2 \varphi + 2\tau_{xy} \sin \varphi \cos \varphi$$
$$\tau_{\xi\eta} = -(\sigma_x - \sigma_y) \sin \varphi \cos \varphi + \tau_{xy} (\cos^2 \varphi - \sin^2 \varphi)$$

(2.5a)

$$\sigma_\eta = \sigma_x \sin^2 \varphi + \sigma_y \cos^2 \varphi - 2\tau_{xy} \cos \varphi \sin \varphi$$

(2.5b)

$$\sigma_\xi = \frac{1}{2}(\sigma_x + \sigma_y) + \frac{1}{2}(\sigma_x - \sigma_y) \cos 2\varphi + \tau_{xy} \sin 2\varphi,$$
$$\sigma_\eta = \frac{1}{2}(\sigma_x + \sigma_y) - \frac{1}{2}(\sigma_x - \sigma_y) \cos 2\varphi + \tau_{xy} \sin 2\varphi,$$
$$\tau_{\xi\eta} = -\frac{1}{2}(\sigma_x - \sigma_y) \sin 2\varphi + \tau_{xy} \cos 2\varphi,$$

(2.6)

$$\sigma_\xi + \sigma_\eta = \sigma_x + \sigma_y$$

(2.7)

2.2.2 Hauptspannungen

$$\tan 2\varphi^* = \frac{2\tau_{xy}}{\sigma_x - \sigma_y}$$

(2.8)

$$\cos 2\varphi^* = \frac{1}{\sqrt{1 + \tan^2 2\varphi^*}} = \frac{\sigma_x - \sigma_y}{\sqrt{(\sigma_x - \sigma_y)^2 + 4\tau_{xy}^2}}$$
$$\sin 2\varphi^* = \frac{\tan 2\varphi^*}{\sqrt{1 + \tan^2 2\varphi^*}} = \frac{2\tau_{xy}}{\sqrt{(\sigma_x - \sigma_y)^2 + 4\tau_{xy}^2}}$$

(2.9)

$$\sigma_{1,2} = \frac{\sigma_x + \sigma_y}{2} \pm \sqrt{\left(\frac{\sigma_x - \sigma_y}{2}\right)^2 + \tau_{xy}^2}$$

(2.10)

$$\tan 2\varphi^{**} = -\frac{\sigma_x - \sigma_y}{2\tau_{xy}}$$

(2.11)

$$\tau_{\max} = \pm \sqrt{\left(\frac{\sigma_x - \sigma_y}{2}\right)^2 + \tau_{xy}^2}$$

(2.12a)

$$\tau_{\max} = \pm \frac{1}{2}(\sigma_1 - \sigma_2)$$

(2.12b)

$$\sigma_M = \frac{1}{2}(\sigma_x + \sigma_y) = \frac{1}{2}(\sigma_1 + \sigma_2)$$

(2.13)

2.3 Mohrscher Spannungskreis

$$\sigma_\xi - \frac{1}{2}(\sigma_x + \sigma_y) = \frac{1}{2}(\sigma_x - \sigma_y) \cos 2\varphi + \tau_{xy} \cos 2\varphi$$
$$\tau_{\xi\eta} = -\frac{1}{2}(\sigma_x - \sigma_y) \sin 2\varphi + \tau_{xy} \cos 2\varphi$$

(2.14)

$$\left[\sigma_\xi - \frac{1}{2}(\sigma_x + \sigma_y) \right]^2 + \tau_{\xi\eta}^2 = \left(\frac{\sigma_x - \sigma_y}{2} \right)^2 + \tau_{xy}^2$$

(2.15)

$$(\sigma - \sigma_M)^2 + \tau^2 = r^2$$

(2.16)

$$r^2 = \frac{1}{4} [(\sigma_x + \sigma_y)^2 - 4(\sigma_x \sigma_y - \tau_{xy}^2)]$$

(2.17)

2.3.1 Dünnwandiger Kessel

$$\sigma_x = \frac{1}{2} p \frac{r}{t}$$

(2.18)

$$\sigma_\varphi = p \frac{r}{t}$$

(2.19)

$$\sigma_t = \sigma_\varphi = \frac{1}{2} p \frac{r}{t}$$

(2.20)

2.4 Gleichgewichtsbedingungen

$$\frac{\partial \sigma_x}{\partial x} + \frac{\partial \tau_{yx}}{\partial y} + f_x = 0$$

(2.21a)

$$\frac{\partial \tau_{xy}}{\partial x} + \frac{\partial \sigma_y}{\partial y} + f_y = 0$$

(2.21b)

$$\frac{\partial \sigma_x}{\partial x} + \frac{\partial \tau_{yx}}{\partial y} + \frac{\partial \tau_{zx}}{\partial z} + f_x = 0$$
$$\frac{\partial \tau_{xy}}{\partial x} + \frac{\partial \sigma_y}{\partial y} + \frac{\partial \tau_{zy}}{\partial z} + f_y = 0$$
$$\frac{\partial \tau_{xz}}{\partial x} + \frac{\partial \tau_{yz}}{\partial y} + \frac{\partial \sigma_z}{\partial z} + f_z = 0$$

(2.22)

3 Verzerrungszustand, Elastizitätsgesetze

3.1 Verzerrungszustand

$$\varepsilon_x = \frac{\partial u}{\partial x}, \quad \varepsilon_y = \frac{\partial v}{\partial y}$$

(3.1)

$$\gamma_{xy} = \frac{\partial u}{\partial y} + \frac{\partial v}{\partial x}$$

(3.2)

$$\tan 2\varphi^* = \frac{\gamma_{xy}}{\varepsilon_x - \varepsilon_y}$$

(3.4)

$$\varepsilon_{1,2} = \frac{\varepsilon_x + \varepsilon_y}{2} \pm \sqrt{\left(\frac{\varepsilon_x - \varepsilon_y}{2}\right)^2 + \left(\frac{1}{2}\gamma_{xy}\right)^2}$$

(3.5)

$$\varepsilon_x = \frac{\partial u}{\partial x}, \quad \varepsilon_y = \frac{\partial v}{\partial y}, \quad \varepsilon_z = \frac{\partial w}{\partial z},$$

(3.6a)

$$\gamma_{xy} = \frac{\partial u}{\partial y} + \frac{\partial v}{\partial x}, \quad \gamma_{xz} = \frac{\partial u}{\partial z} + \frac{\partial w}{\partial x}, \quad \gamma_{yz} = \frac{\partial v}{\partial z} + \frac{\partial w}{\partial y},$$

(3.6b)

$$\varepsilon = \begin{bmatrix} \varepsilon_x & \varepsilon_{xy} & \varepsilon_{xz} \\ \varepsilon_{yx} & \varepsilon_y & \varepsilon_{yz} \\ \varepsilon_{zx} & \varepsilon_{zy} & \varepsilon_z \end{bmatrix} = \begin{bmatrix} \varepsilon_x & \frac{1}{2}\gamma_{xy} & \frac{1}{2}\gamma_{xz} \\ \frac{1}{2}\gamma_{xy} & \varepsilon_x & \frac{1}{2}\gamma_{yz} \\ \frac{1}{2}\gamma_{xz} & \frac{1}{2}\gamma_{yz} & \varepsilon_z \end{bmatrix}$$

(3.7)

3.2 Elastizitätsgesetz

$$\varepsilon_y = -\nu \varepsilon_x$$

(3.8)

$$\varepsilon_x = \frac{1}{E} (\sigma_x - \nu \sigma_y), \quad \varepsilon_y = \frac{1}{E} (\sigma_y - \nu \sigma_x)$$

(3.9)

$$\tau_{xy} = G \gamma_{xy}$$

(3.10)

$$G = \frac{E}{2(1 + \eta)}$$

(3.11)

$$\varepsilon_x = \frac{1}{E} (\sigma_x - \nu \sigma_y)$$
$$\varepsilon_y = \frac{1}{E} (\sigma_y - \nu \sigma_x)$$
$$\gamma_{xy} = \frac{1}{G} \tau_{xy}$$

(3.12a)

$$\sigma_x = \frac{E}{1 - \nu^2} (\varepsilon_x + \nu \varepsilon_y)$$
$$\sigma_y = \frac{E}{1 - \nu^2} (\varepsilon_y - \nu \varepsilon_x)$$
$$\tau_{xy} = G \gamma_{xy}$$

(3.12b)

$$\varepsilon_1 = \frac{1}{E} (\sigma_1 - \nu \sigma_2), \quad \varepsilon_2 = \frac{1}{E} (\sigma_2 - \nu \sigma_1)$$

(3.13)

$$\varepsilon_x = \frac{1}{E} [\sigma_x - \nu (\sigma_y + \sigma_z)] + \alpha_T \Delta T$$
$$\varepsilon_y = \frac{1}{E} [\sigma_y - \nu (\sigma_z + \sigma_x)] + \alpha_T \Delta T$$
$$\varepsilon_z = \frac{1}{E} [\sigma_z - \nu (\sigma_x + \sigma_y)] + \alpha_T \Delta T$$
$$\gamma_{xy} = \frac{1}{G} \tau_{xy}, \quad \gamma_{xz} = \frac{1}{G} \tau_{xz}, \quad \gamma_{yz} = \frac{1}{G} \tau_{yz}$$

(3.14)

3.3 Festigkeithypothesen

$$\sigma_V \leq \sigma_{zul}$$

(3.15)

$$\sigma_V = \sigma_1$$

(3.16)

$$\sigma_V = \sqrt{(\sigma_x - \sigma_y)^2 + 4\tau_{xy}^2}$$

(3.17)

$$\sigma_V = \sqrt{\sigma_x^2 + \sigma_y^2 - \sigma_x \sigma_y + 3\tau_{xy}^2}$$

(3.18)

4 Balkenbiegung

4.1 Einführung

$$\sigma(z) = cz$$

(4.1)

$$M = \int z \sigma \, dA$$

(4.2)

$$I = \int z^2 \, dA$$

(4.3)

$$\sigma = \frac{M}{I} z$$

(4.4)

4.2 Flächenträgheitsmomente

4.2.1 Definition

Das statische Moment ist quasi Fläche × Hebelarm bezogen auf den Schwerpunkt der Fläche:

$$S_y = \int z \mathrm{d}A, \quad S_z = \int y \mathrm{d}A$$

(4.5)

$$I_y = \int z^2 \mathrm{d}A, \quad I_z = \int y^2 \mathrm{d}A$$

(4.6a)

$$I_{yz} = I_{zy} = - \int yz \, \mathrm{d}A$$

(4.6b)

$$I_p = \int r^2 \, \mathrm{d}A = \int \left(z^2 + y^2 \right) \, \mathrm{d}A = I_y + I_z$$

(4.6c)

$$i_y = \sqrt{\frac{I_y}{A}}, \quad i_z = \sqrt{\frac{I_z}{A}}, \quad i_p = \sqrt{\frac{I_p}{A}}$$

(4.7)

4.2.2 Parallelverschiebung der Bezugsachsen

$$\begin{aligned} I_{\bar{y}} &= I_y + \bar{z}_s^2 A \\ I_{\bar{z}} &= I_z + \bar{y}_s^2 A \\ I_{\bar{y}\bar{z}} &= I_{yz} - \bar{y}_s \bar{z}_s A \end{aligned}$$

(4.13)

I_y ist das Flächenträgheitsmoment der zusammengesetzten Fläche, $I_{\bar{y}}$ das von jeder einzelnen, \bar{z}_s ist der Abstand des Schwerpunktes der Einzelflächen zur GesamtAchse y und A ist der jeweilige Flächeninhalt.

$$I_y = \sum I_{\bar{y}} + \bar{z}_s^2 A$$

(Satz v. Steiner)

4.2.3 Drehung des Bezugssystems, Hauptträgheitsmomente

$$\begin{aligned} I_\eta &= \frac{1}{2} (I_y + I_z) + \frac{1}{2} (I_y - I_z) \cos 2\varphi + I_{yz} \sin 2\varphi \\ I_\zeta &= \frac{1}{2} (I_y - I_z) - \frac{1}{2} (I_y + I_z) \cos 2\varphi - I_{yz} \sin 2\varphi \\ I_{\eta\zeta} &= -\frac{1}{2} (I_y - I_z) \sin 2\varphi + I_{yz} \cos 2\varphi \end{aligned}$$

(4.14)

$$I_\eta + I_\zeta = I_y + I_z = I_p$$

(4.15)

$$\tan 2\varphi^* = \frac{2I_{yz}}{I_y - I_z}$$

(4.16)

$$I_{1,2} = \frac{I_y + I_z}{2} \pm \sqrt{\left(\frac{I_y - I_z}{2}\right)^2 + I_{yz}^2}$$

(4.17)

4.3 Grundgleichungen der geraden Biegung

$$\frac{\mathrm{d}Q}{\mathrm{d}x} = -q, \quad \frac{\mathrm{d}M}{\mathrm{d}x} = Q$$

(4.18)

$$M = \int z \sigma \, \mathrm{d}A$$

(4.19a)

$$Q = \int \tau \, \mathrm{d}A$$

(4.19b)

$$N = \int \sigma \, \mathrm{d}A$$

(4.19c)

$$\varepsilon = \frac{\partial u}{\partial x}$$

(4.20)

$$\sigma = E \, \varepsilon, \quad \tau = G \, \gamma$$

(4.21)

$$w = w(x)$$

(4.22a)

$$u(x,z) = \psi(x)z$$

(4.22b)

$$\sigma = E \frac{\partial u}{\partial x} = E \psi' z$$

(4.23a)

$$\tau = G \left(\frac{\partial w}{\partial x} + \frac{\partial u}{\partial z} \right) = G(w' + \psi)$$

(4.23b)

$$M = EI\psi'$$

(4.24)

$$Q = \kappa GA(w' + \psi)$$

(4.25)

4.4 Normalspannungen

$$\sigma = \frac{M}{I} z$$

(4.26)

$$W = \frac{I}{|z|_{\max}}$$

(4.27)

Aber hier mit subscript, also $W_{\text{Achse}} = \frac{I_{\text{Achse}}}{|\text{andere Achse}|_{\max}}$

$$\sigma_{\max} = \frac{|M|}{W}$$

(4.28)

4.5 Biegelinie

4.5.1 Differentialgleichung der Biegelinie

$$w' + \psi = 0$$

(4.29)

$$Q' = -q, \quad M' = Q, \quad \psi' = \frac{M}{EI}, \quad w' = -\psi$$

(4.30)

$$w'' = -\frac{M}{EI}$$

(4.31)

$$\kappa_B = \frac{w'''}{(1 + w'^2)^{3/2}}$$

(4.32a)

$$\kappa_B \approx w''$$

(4.32b)

$$Q = -(EIw'')'$$

(4.33)

$$(EIw'')'' = q$$

(4.34a)

$$EIw^{IV} = q$$

(4.34b)

4.5.2 Einfeldbalken

4.5.3 Balken mit mehreren Feldern

Balken mit zwei Feldern. Eingespannt rechts und links, krafteinwirkung dazwischen, bei a .

$$M(x) = \begin{cases} F \frac{b}{\ell} x & \text{für } 0 \leq x \leq a \\ F \frac{a}{\ell} (\ell - x) & \text{für } a \leq x \leq l \end{cases}$$

(Momentenverlauf)

4.5.4 Superposition

4.6 Einfluss des Schubes

4.6.1 Schubspannungen

$$\frac{\partial \sigma}{\partial x} = \frac{Q}{I} \zeta$$

(4.35)

$$S(z) = \int_{A^*} \zeta \, \mathrm{d}A$$

(4.36)

$$\tau(z) = \frac{\overbrace{Q}^{[N]} \underbrace{S(z)}^{mm^3}}{\underbrace{I}_{N/mm^2} \underbrace{b(z)}_{mm^4}}$$

(4.37)

4.6.2 Durchbiegung infolge Schub

$$w' + \psi = \frac{Q}{GA_S}$$

(4.40)

$$w'_s = \frac{Q}{GA_S}$$

(4.41)

$$w' = w'_B + w'_S$$

(4.42)

$$w = w_B + w_S$$

(4.43)

$$w_S = \frac{F}{GA_S} x$$

(4.44)

4.7 Schiefe Biegung

$$\sigma = \frac{M_y}{I_y} z - \frac{M_z}{I_z} y$$

(4.45)

$$w'' = \frac{M_y}{EI_y}, \quad v'' = \frac{M_z}{EI_z}$$

(4.46)

$$\begin{aligned} \frac{\mathrm{d}Q_z}{\mathrm{d}x} &= -q_z, & \frac{\mathrm{d}Q_y}{\mathrm{d}x} &= -q_y \\ \frac{\mathrm{d}M_y}{\mathrm{d}x} &= Q_z, & \frac{\mathrm{d}M_z}{\mathrm{d}x} &= -Q_y \end{aligned}$$

(4.47)

$$\varepsilon = - (w'' z + v'' y)$$

(4.48)

$$\sigma = -E (w'' z + v'' y)$$

(4.49)

$$M_y = \int z \sigma \, \mathrm{d}A, \quad M_z = - \int y \sigma \, \mathrm{d}A$$

(4.50)

4.8 Biegung und Zug/Druck

4.9 Kern des Querschnitts

4.10 Temperaturbelastung

5 Torsion

5.1 Einführung

5.2 Die kreiszylindrische Welle

$$r \, \mathrm{d}\vartheta = \gamma \, \mathrm{d}x \rightarrow \gamma = r \frac{\mathrm{d}\vartheta}{\mathrm{d}x}$$

(5.1)

Man nennt die Verdrehung pro Längeneinheit $\mathrm{d}\vartheta = \mathrm{d}x$ manchmal auch Verwindung κ_T .

$$\tau = Gr \frac{\mathrm{d}\vartheta}{\mathrm{d}x} = Gr \vartheta'$$

(5.2)

$$M_T = \int r \vartheta \, \mathrm{d}A$$

(5.3)

$$M_T = G \vartheta' \int r^2 \, \mathrm{d}A = G \vartheta' I_p$$

(5.4)

$$GI_T \vartheta' = M_T$$

(5.5)

Die Größe GI_T heißt Torsionssteifigkeit.

$$M_T = M_x$$

(5.6)

$$\vartheta_\ell = \frac{M_T \ell}{GI_T}$$

(5.7)

$$\tau = \frac{M_T}{I_T} r$$

(5.8)

Der Größtwert tritt am Rand $r = R$ auf: $\tau_{\max} = (M_T/I_T) R$. Um die Analogie zur Biegung herzustellen, führen wir ein *Torsionswiderstandsmoment* W_T ein:

$$\tau_{\max} = \frac{M_T}{W_T}$$

(5.9)

$$I_t = I_p = \frac{\pi}{2} R^4, \quad W_T = \frac{\pi}{2} R^3$$

(5.10)

$$I_T = \frac{\pi}{2} \left(R_a^4 - R_i^4 \right), \quad W_T = \frac{\pi}{2} \frac{R_a^4 - R_i^4}{R_a}$$

(5.11)

$$I_T \approx 2\pi R_m^3 t \quad W_T \approx 2\pi R_m^2 t$$

(5.12)

$$\frac{\mathrm{d}M_T}{\mathrm{d}x} = M'_T = -m_T$$

(5.13)

$$(GI_T \vartheta')' = -m_T$$

(5.14)

5.3 Dünnwandige geschlossene Profile

$$\overline{T} = \tau t$$

(5.15)

$$\overline{T} = \tau t = \text{const}$$

(5.16)

$$M_T = \oint \mathrm{d}M_T = T \oint r \perp \, \mathrm{d}s$$

(5.17)

$$\oint r \perp \, \mathrm{d}s = 2A_m$$

(5.18)

$$M_T = 2A_m \overline{T}$$

(5.19)

1. Bredtsche Formel

$$\tau = \frac{T}{t} = \frac{M_T}{2A_m t}$$

(5.20)

$$\tau_{\max} = \frac{M_T}{W_T} \quad \text{mit} \quad W_T = 2A_m t_{\min}$$

(5.21)

$$\mathrm{d}v = r \perp \, \mathrm{d}\vartheta$$

(5.22)

$$\frac{T}{Gt} = r \perp \, \vartheta' + \frac{\partial u}{\partial s}$$

(5.23)

$$\vartheta' = \frac{M_T}{GI_T}$$

(5.24)

$$I_T = \frac{(2A_m)^2}{\oint \frac{\mathrm{d}s}{t}}$$

(5.25)

5.4 Dünnwandige offene Profile

7 Knickung

7.1 Verzweigung einer Gleichgewichtslage

$$\Pi' = \frac{\mathrm{d}\Pi}{\mathrm{d}\varphi} = 0 \rightarrow -F\ell \sin \varphi + c_T \varphi = 0$$

(7.1)

$$\varphi_1 = 0$$

(7.2)

$$\frac{\varphi_2}{\sin \varphi_2} = \frac{F\ell}{c_T}$$

(7.3)

$$\Pi'' = \frac{\mathrm{d}^2 \Pi}{\mathrm{d}\varphi^2} = -F\ell \cos \varphi + c_T$$

(7.4)

$$F_{\text{krit}} = \frac{c_T}{\ell}$$

(7.5)

7.2 Der Euler-Stab

$$M = Fw$$

(7.6)

$$EIw'' + Fw = 0$$

(7.7a)

$$\lambda = \frac{\pi}{\ell_k}, \quad \lambda^2 = F/EI$$

(abkürzung)

$$w'' + \lambda^2 w = 0$$

(7.7b)

$$w = A \cos \lambda x + B \sin \lambda x$$

(7.8)

$$\sin \lambda \ell = 0 \rightarrow \lambda_n \ell = n\pi \quad \text{mit} \quad n = 1,2,3,\dots$$

(7.9)

$$F_{\text{krit}} = \lambda_1^2 EI = \pi^2 \frac{EI}{\ell^2}$$

(7.10)

$$N = \text{const} = -F$$

(7.11)

$$(EIw'')'' + Fw'' = 0$$

(7.12)

$$w^{IV} + \lambda^2 w'' = 0$$

(7.13)

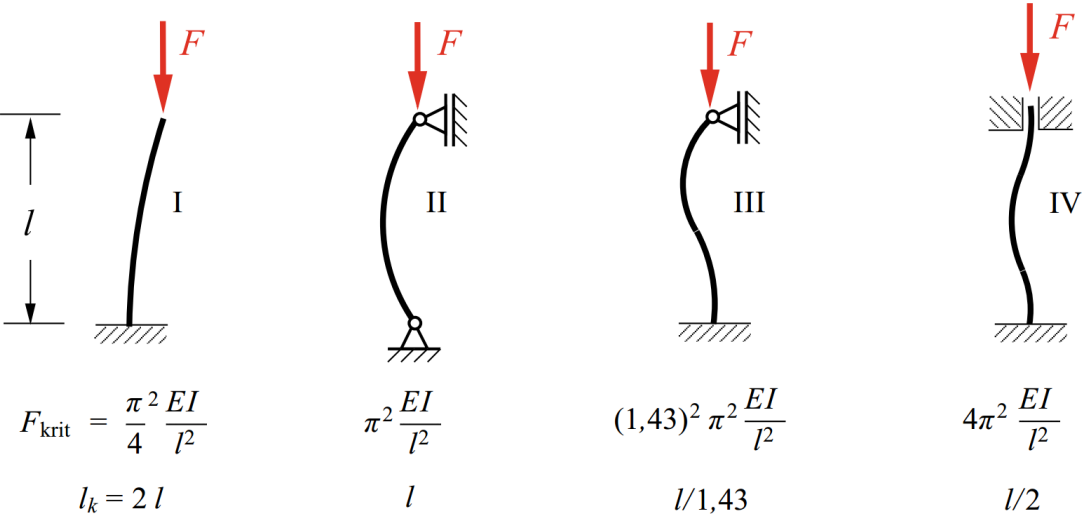
$$w = A \cos \lambda x + B \sin \lambda x + C\lambda x + D$$

(7.14)

$$\lambda_k = \ell_k \cdot \sqrt{\frac{A}{I}} = \frac{\ell_k}{i}$$

$$F_{\text{krit}} = \pi^2 \frac{EI_{\min}}{\ell_k^2}$$

(7.19)



Fläche	I_y	I_z	I_{yz}	I_p	$I_{\bar{y}}$
Rechteck	$\frac{bh^3}{12}$	$\frac{hb^3}{12}$	0	$\frac{bh}{12} \left(h^2 + b^2 \right)$	$\frac{bh^3}{3}$
Dreieck BILD	$\frac{bh^3}{36}$	$\frac{bh}{36} \left(b^2 - ba + a^2 \right)$	$-\frac{bh^2}{72} (b - 2a)$	$\frac{bh}{36} \left(h^2 + b^2 - ba + a^2 \right)$	$\frac{bh^3}{12}$
Kreis	$\frac{\pi R^4}{4}$	$\frac{\pi R^4}{4}$	0	$\frac{\pi R^4}{2}$	$\frac{5\pi}{4} R^4$
Dünner Kreisring $t \ll R_m$	$\pi R_m^3 t$	$\pi R_m^3 t$	0	$2\pi R_m^3 t$	$3\pi R_m^3 t$
Halbkreis	$\frac{R^4}{72\pi} \left(9\pi^2 - 64 \right)$	$\frac{\pi R^4}{8}$	0	$\frac{R^4}{36\pi} \left(9\pi^2 - 32 \right)$	$\frac{\pi R^4}{8}$
Ellipse	$\frac{\pi}{4} ab^3$	$\frac{\pi}{4} ba^3$	0	$\frac{\pi ab}{4} \left(a^2 + b^2 \right)$	$\frac{5\pi}{4} ab^3$